

3. Доведено ефективність MR-контролю в умовах експериментальної апробації.
4. Подальші дослідження доцільно спрямувати на інтеграцію алгоритмів машинного навчання та оцінку економічної ефективності впровадження.

### Література

1. Azuma R. A Survey of Augmented Reality // Presence. – 1997.
2. Milgram P., Kishino F. A Taxonomy of Mixed Reality Visual Displays // IEICE. – 1994.
3. Tao F., Zhang M. Digital Twin Driven Smart Manufacturing. – 2019.
4. Schwab K. The Fourth Industrial Revolution. – 2016.
5. Porter M., Heppelmann J. Smart, Connected Products // Harvard Business Review. – 2014.

УДК 681.5

## ТОПОЛОГІЧНА ОПТИМІЗАЦІЯ КРОНШТЕЙНА ПІДВІСКИ БРОНЕАВТОМОБІЛЯ «НОВАТОР» ЗА ДОПОМОГОЮ AUTODESK INVENTOR

М.Д. Черкаський

*Харківський національний автомобільно-дорожній університет  
kolyanich.337@gmail.com*

Однією з актуальних задач вдосконалення технологічних процесів у вітчизняному автомобілебудуванні є зниження маси несучих елементів при збереженні заданого рівня міцності та надійності. Особливої гостроти ця проблема набуває в контексті виробництва захищених автомобілів для Збройних сил України: надлишкова маса кузовних вузлів та елементів підвіски безпосередньо знижує рухливість, вантажопідйомність та паливну ефективність броневих автомобілів [1].

Сучасні CAD/CAE-інструменти – зокрема Autodesk Inventor – надають можливість проводити топологічну оптимізацію на етапі проектування, що дозволяє отримати конструктивно раціональну форму деталі без виготовлення дорогих фізичних прототипів. Метою роботи є демонстрація методики топологічної оптимізації несучого кронштейна підвіски броневих автомобіля «Новатор» (ТОВ «Укрбронетехніка», Черкаси) із застосуванням модулів Stress Analysis та Shape Generator Autodesk Inventor 2024.

**Тривимірний модель кронштейна.** Об'єктом дослідження є несучий кронштейн кріплення важеля підвіски броневих автомобіля «Новатор» масою 7,5

т. Геометрія деталі – П-подібна рамна конструкція (рис. 1) – побудована в середовищі Autodesk Inventor 2024. Основні параметри: габарити 120×100×35 мм; матеріал – сталь 09Г2С (межа текучості  $\sigma_t = 355$  МПа, модуль Юнга  $E = 210$  ГПа); маса вихідної моделі 1,847 кг.

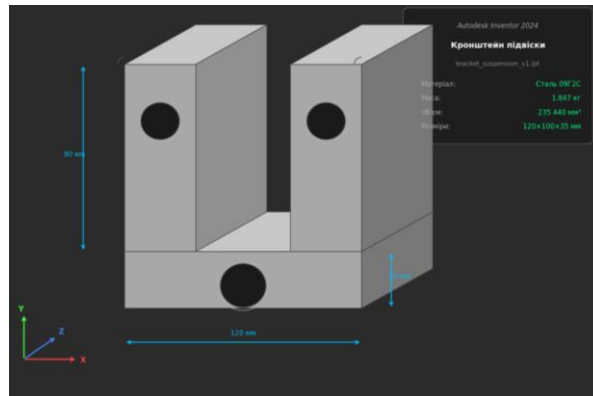


Рис. 1. Тривимірний модель кронштейна підвіски (Autodesk Inventor 2024)

**Схема навантаження та граничні умови.** Розрахункова схема відповідає умовам руху броневих автомобіля по нерівній поверхні. Граничні умови: жорстке закріплення (Fixed Constraint) по поверхнях двох монтажних отворів  $\varnothing 25$  мм. Прикладені навантаження: вертикальна сила  $F_1 = 18\,500$  Н (навантаження від маси 7,5 т при динамічному коефіцієнті 1,0g); горизонтальна сила  $F_2 = 9\,200$  Н (бокове навантаження при маневруванні, 0,5g). Сітка скінченних елементів – тетраедри з середнім розміром елемента 1,75 мм, загальна кількість вузлів – 28 640 [2].

**Результати аналізу напружено-деформованого стану.** Розподіл еквівалентних напружень за критерієм Мізеса для вихідної моделі наведено на рис. 2. Максимальне напруження 287,4 МПа виявлено в зоні концентрації біля центрального отвору  $\varnothing 30$  мм. Середнє напруження по перерізу стійок становить 143,2 МПа, що залишає значний резерв міцності в периферійних зонах деталі.

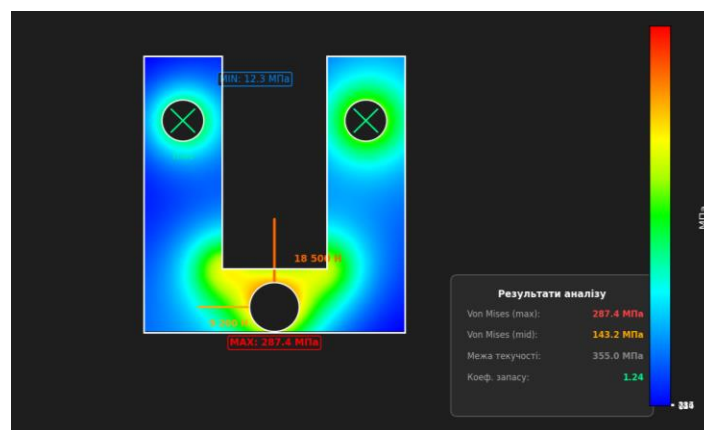


Рис. 2. Розподіл еквівалентних напружень Von Mises у вихідній моделі

**Аналіз коефіцієнта запасу міцності.** Розподіл коефіцієнта запасу міцності  $Safety Factor = \sigma_t / \sigma_{VM}$  наведено на рис. 3. Мінімальне значення  $SF = 1,24$  зафіксовано в зоні концентрації напружень, що не відповідає вимогам ДСТУ В 4104-2008 для несучих елементів захищених автомобілів ( $SF \geq 1,5$ ). До 65% об'єму деталі має  $SF > 3,0$ , що свідчить про значну надлишковість матеріалу і є прямим обґрунтуванням доцільності топологічної оптимізації [3].



Рис. 3. Розподіл коефіцієнта запасу міцності Safety Factor

**Топологічна оптимізація (Shape Generator).** За допомогою модуля Shape Generator Autodesk Inventor 2024 виконано топологічну оптимізацію кронштейна з такими цілями: зменшення об'єму матеріалу на 30%; збереження зон монтажних отворів (Preserve Regions); мінімально допустимий коефіцієнт запасу  $SF \geq 1,5$ . Алгоритм ітераційно перерозподілив матеріал, залишивши тільки навантажені силові ребра та видаливши надлишковий матеріал у центральній зоні (рис. 4).

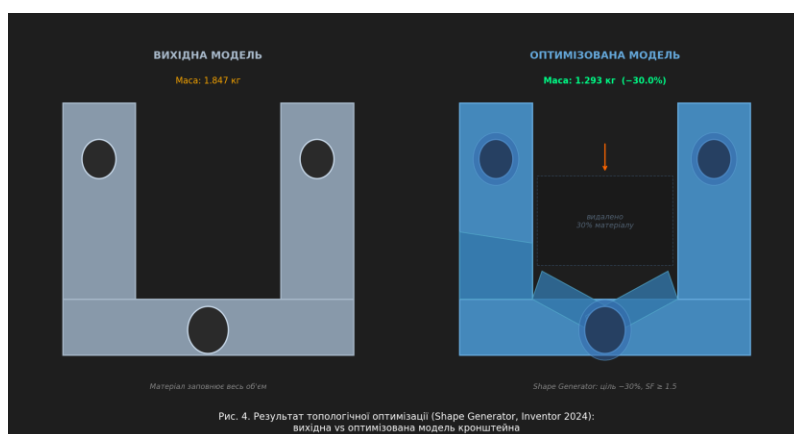


Рис. 4. Результат топологічної оптимізації (Shape Generator, Inventor 2024): вихідна (ліворуч) та оптимізована (праворуч) модель

Це відповідає принципу «follow the load path» — матеріал залишається лише там, де він реально несе навантаження [2].

**Порівняльний аналіз результатів.** Зведені результати наведено у табл. 1 та на рис. 5. Оптимізована модель забезпечує: зниження маси на 30,0% (з 1,847 до 1,293 кг); підвищення мінімального коефіцієнта запасу з 1,24 до 1,52 (відповідність ДСТУ); зниження максимального напруження на 8,9%. Збільшення максимального переміщення на 15,6% (до 2,67 мм) є прийнятним і знаходиться в межах допустимих значень для даного типу конструкцій.

Таблиця 1 — Порівняння характеристик кронштейна до та після топологічної оптимізації

Показник	Вихідна	Оптимізована	Зміна
Маса, кг	1,847	1,293	-30,0 %
Макс. напруження Von Mises, МПа	287,4	261,8	-8,9 %
Мін. коефіцієнт запасу SF	1,24	1,52	+22,6 %
Макс. переміщення, мм	2,31	2,67	+15,6 %
Відповідність ДСТУ В 4104-2008	Ні (SF < 1,5)	Так (SF ≥ 1,5)	✓

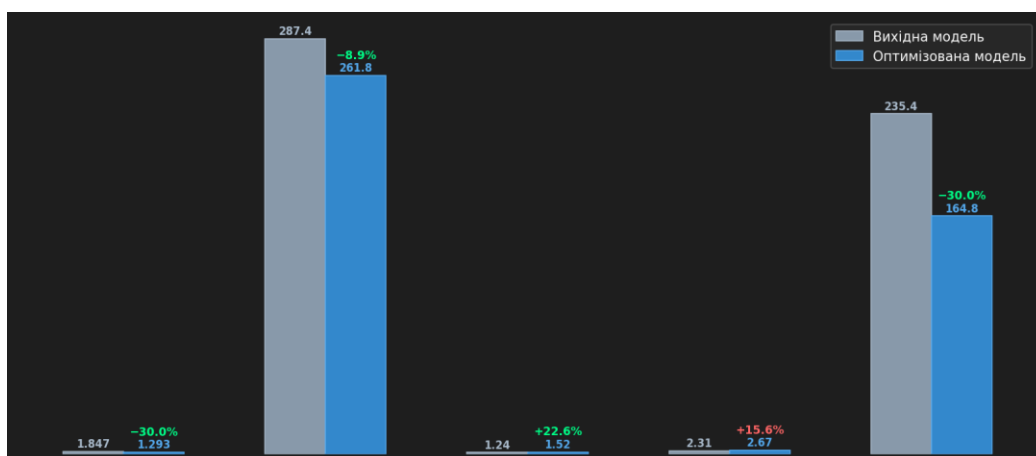


Рис. 5. Порівняння показників до та після топологічної оптимізації кронштейна

**Висновки.** За результатами роботи підтверджено ефективність застосування модулів Stress Analysis та Shape Generator Autodesk Inventor 2024 для топологічної оптимізації несучих елементів підвіски бронеавтомобіля. Запропонована конструкція кронштейна забезпечує зниження маси на 30% при одночасному підвищенні коефіцієнта запасу міцності до нормативного рівня SF = 1,52, що відповідає вимогам ДСТУ В 4104-2008. Впровадження даного підходу на підприємстві ТОВ

«Укрбронетехніка» дозволить знизити витрати матеріалу при серійному виробництві та покращити рухливість бронеавтомобіля «Новатор». Методика може бути поширена на інші вузли ходової частини та кузова.

### Література

1. Bendsøe M. P., Sigmund O. Topology Optimization: Theory, Methods and Applications. 2nd ed. – Berlin: Springer, 2004. – 370 p.
2. Autodesk Inc. Inventor 2024 Help: Shape Generator and Stress Analysis. – San Francisco: Autodesk, 2023 [Електронний ресурс]. – Режим доступу: [help.autodesk.com/inventor](https://help.autodesk.com/inventor).
3. ДСТУ В 4104-2008. Автомобілі спеціальні захищені. Загальні технічні вимоги. – Київ: Держспоживстандарт України, 2008. – 24с.
4. Christensen P. W., Klarbring A. An Introduction to Structural Optimization. – Dordrecht: Springer, 2009. – 214 p.

УДК 629.113.004

## ОСОБЛИВОСТІ ВИМІРЮВАННЯ ПАРАМЕТРІВ ТЯГОВИХ ВЛАСТИВОСТЕЙ АВТОМОБІЛІВ НА РОЛИКОВОМУ СТЕНДІ

І.А. Мармут

*Харківський національний автомобільно-дорожній університет  
mia2005.62@ukr.net*

Для забезпечення достовірності результатів діагностування автомобіля за допомогою нестандартизованих засобів вимірювань треба якісна перевірка цих засобів, згідно регламенту [1, 2] та вимог до роликкових стендів [3]. Для перевірення каналу вимірювання потужності при діагностуванні автомобіля на роликковому стенді ПДС-Л необхідний тарований і повірений динамометр класу не гірше 0,1, а також автомобіль зі справною ходовою частиною. Перевірення каналу вимірювання потужності проводиться після отримання результатів перевірення каналу вимірювання лінійної швидкості. Дії по перевірці каналу вимірювання потужності (КВП) містять такі операції [4, 5]:

1. Забезпечити вимір зусилля, що розвивається автомобілем на стенді із заданою похибкою (похибка динамометра повинна бути в 5...10 разів менше, ніж очікувана похибка каналу вимірювання потужності).

2. Вимірювання тягового зусилля і лінійної швидкості проводяться кілька ( $n$ ) разів, (але не менше п'яти) з вибраною величиною демпфірування гідросистеми стенду. Величина демпфірування (при заданій швидкості роликів) встановлюється за показаннями манометра (допускається користуватися штатним манометром вимірювальної системи стенду).